

УДК 621.315.592

## НЕСТАЦИОНАРНЫЕ ПРОЦЕССЫ ДВОЙНОЙ ИНЖЕКЦИИ И РАССАСЫВАНИЯ ПЛАЗМЫ В ПОЛУПРОВОДНИКОВОЙ $p^+ - n - n^+$ -СТРУКТУРЕ

Кардо-Сысоев А. Ф., Попова М. В.

Рассматривается нестационарный процесс двойной инжекции и рассасывания плазмы в  $p^+ - n - n^+$ -структуре. Полная система уравнений, описывающая этот процесс, для практически интересных случаев содержит малые параметры при старших производных и относится к классу сингулярно-возмущенных уравнений. Слагаемым с малыми параметрами соответствуют пограничные слои, т. е. области резкого изменения переменных. Используя методы теории сингулярных асимптотических разложений, получены укороченные уравнения для этих областей, в том числе для диффузионных областей у  $p^+ - n$ - и  $n - n^+$ -переходов и для дрейфовой области, лежащей между этими диффузионными областями.

Численные решения показали, что на этапе протекания обратного тока возникают две волны истощения, бегущие от  $p^+$ - и  $n^+$ -слоев навстречу друг другу. За фронтом «медленной» волны, бегущей от  $p^+$ -слоя, возникает область объемного заряда, свободная от электронов. За фронтом более быстрой волны, бегущей от  $n^+$ -слоя, остается нейтральная область, свободная от неравновесных носителей. Схлопывание волн истощения происходит очень резко в области перехода между диффузионной и дрейфовой областями. После схлопывания весь объем полупроводника оказывается истощенным от неравновесных носителей. Дальнейшее протекание тока возможно только за счет выноса основных носителей (электронов), что сопровождается очень быстрым расширением области объемно-заряда и резким увеличением скорости роста напряжения на структуре.

Известно очень большое число работ, посвященных нестационарным процессам двойной инжекции и рассасывания плазмы в полупроводнике. Однако из-за нелинейности задачи при ее решении приходится идти на ряд упрощений. Например, если рассматривается рассасывание плазмы с учетом диффузии и дрейфа, то выбираются специальные «удобные» начальные условия. При задании «естественных» начальных условий используется упрощенное «диффузионное» приближение и т. д. Практически интересен и важен случай [4], в котором на  $p^+ - n - n^+$ -диод сначала подается короткий с резким фронтом мощный импульс тока пропускного направления, а затем также резко направление тока переключается на обратное. Последовательное решение для всех стадий этого процесса с учетом дрейфа и диффузии отсутствует. «Сборка» полного решения из уже известных упомянутых выше «фрагментов» может дать правильную качественную картину. Однако вопрос о численной точности при этом остается нерешенным. В настоящей работе приведены результаты решения задачи об инжекции и рассасывании плазмы для указанного выше случая переключения тока в  $p^+ - n - n^+$ -структуре. Обычный путь сокращения полной системы уравнений для получения квазинейтрального диффузионно-дрейфового приближения заключается в оценке слагаемых в полной системе путем подстановки в них характерных значений переменных и в исключении малых слагаемых [2, 5]. Правильность этого пути определяется верным выбором характерных значений. Этот выбор является достаточно произвольным. Для уменьшения произвола мы, насколько это было возможно, старались формализовать процедуру сокращения полной системы уравнений с помощью аппарата «методов асимптотических разложений сингулярно-возмущенных уравнений» [3, 6].

Для получения результатов из рассмотрения были исключены процессы, связанные с временем жизни носителей ( $\tau_p \rightarrow \infty$ ), а также с разогревом решетки ( $T=\text{const}$ ), и носителей в сильных полях ( $\mu_n, \mu_p = \text{const}$ ).

В этом случае известная система уравнений непрерывности и Пуассона может быть приведена к следующему безразмерному виду (нижние индексы означают производные):

$$j = EQ - \xi \frac{1-b}{1+b} Q_x + \eta E_t - \frac{2b}{1+b} \xi \eta E_{xx}, \quad (1)$$

$$Q_t = bE_x - b\eta(EE_x)_x - \eta(b-1)E_{xt} + \xi aQ_{xx} + \frac{3b(1-b)}{1+b} \xi \eta E_{xxx}, \quad (2)$$

где

$$b = \frac{\mu_n}{\mu_p}, \quad Q = p + bn, \quad a = \frac{2(1-b+b^2)}{1+b}, \quad \xi = \frac{kT}{qwE_{ed}}, \quad \eta = \frac{eE_{ed}}{qwN_d}.$$

Единичные значения: поле  $E_{ed} = j_{ed}/q\mu_p N_d$ , ток  $j_{ed} = j$ , длина  $x_{ed} = w$ , напряжение  $U_{ed} = E_{ed}w$ , время  $t_{ed} = w/\mu_p E_{ed}$ , концентрация  $n_{ed} = N_d$ ,  $N_d$  — концентрация доноров в  $n$ -слое  $p^+ - n - n^+$ -структурь,  $j$  — плотность текущего через нее тока,  $w$  — толщина  $n$ -слоя.

Для практически интересного случая:  $w \sim 10^{-2}$  см,  $N_d \sim 10^{14}$  см $^{-3}$ ,  $j \sim 10$  А/см $^2$ . Соответствующие величины  $\xi < 10^{-2}$ ,  $\eta < 10^{-2}$ ,  $\xi \eta \leq 10^{-5}$  означают, что система (1) — (2) содержит малые параметры при старших производных и относится к классу сингулярно-возмущенных, т. е. решение имеет области резкого изменения переменных (пограничных слоев), которые достаточно легко выделить, исходя из физических соображений.

## 1. Процесс инжеекции

На рис. 1, а приведена качественная картина разбиения на слои: две барьерные области  $p^+ - n$ - и  $n - n^+$ -переходов  $\pi_{\xi\eta}$ , соответствующие параметру  $\xi\eta$ , в которых необходимо учитывать как диффузионный, так и полевой переносы и в которых не выполняется условие квазинейтральности; прилегающие к  $\pi_{\xi\eta}$ -слоям два  $\pi_\eta$ -слоя, в которых основную роль играет диффузия, и один  $\pi_\eta$ -слой, в котором определяющим является полевой перенос и не выполняется условие квазинейтральности.

Между  $\pi_\xi$ -слоем, прилегающим к  $p^+ - n$ -переходу, и  $\pi_\eta$ -слоем лежит регулярная квазинейтральная область с полевым переносом, описываемая вырожденной системой, получаемой из (1) — (2) при условии  $\xi$  и  $\eta \rightarrow 0$ , т. е. хорошо известным уравнением биполярного дрейфа

$$Q_t = bE_x, \quad j = EQ. \quad (3)$$

Барьерные области  $\pi_{\xi\eta}$  имеют толщину порядка дебаевского радиуса  $(\xi\eta)^{1/2} < 10^{-2}$ , инерционность порядка максвелловского времени (в безразмерных единицах), равного  $\eta$ , изменение потенциала порядка теплового  $\xi$ , поэтому соответствующие им члены мы исключим из рассмотрения, устремив в (1) — (2)  $\xi\eta \rightarrow 0$ . При  $\xi\eta \equiv 0$  система (1) — (2) будет иметь второй порядок по  $x$  и соответствующие граничные условия можно задать в виде соотношений токов (коэффициентов инжеекции  $\gamma$ ) на резких границах, введенных вместо считающихся бесконечно тонкими  $\pi_{\xi\eta}$ -слоев:

$$\begin{aligned} \text{у } p^+ - n\text{-перехода } \gamma_p = j_p/j = 1, \\ \text{у } n - n^+\text{-перехода } \gamma_n = j_n/j = 1. \end{aligned} \quad (4)$$

Начальное условие для  $t=0$ , соответствующее равновесной концентрации, очевидно:  $n=N_d$ ,  $p=n_i^2/N_d=0$  при  $n_i \ll N_d$ .

К упрощенной (при  $\xi\eta \rightarrow 0$ ) системе можно применить известную процедуру поиска характерных пределов (5) — уравнений для соответствующих пограничных слоев.

Для  $\pi_\eta$  получаем

$$E_\chi + (EE)_\chi = 0, \quad (5)$$

где  $\chi = (\chi_\eta - \chi)/\eta$  — растянутая длина,  $\chi_\eta$  — граница между областями  $\pi_\eta$  и  $\pi_\zeta$ .

Заметим, что из (5) выпадло время, т. е. процесс в  $\pi_\eta$ -слое является квазистационарным [следит за изменением  $E(t)$ ], так как инерционность  $\pi_\eta$ -слоя определяется временем пролета через  $\pi_\eta$  и близка к  $\eta$ .

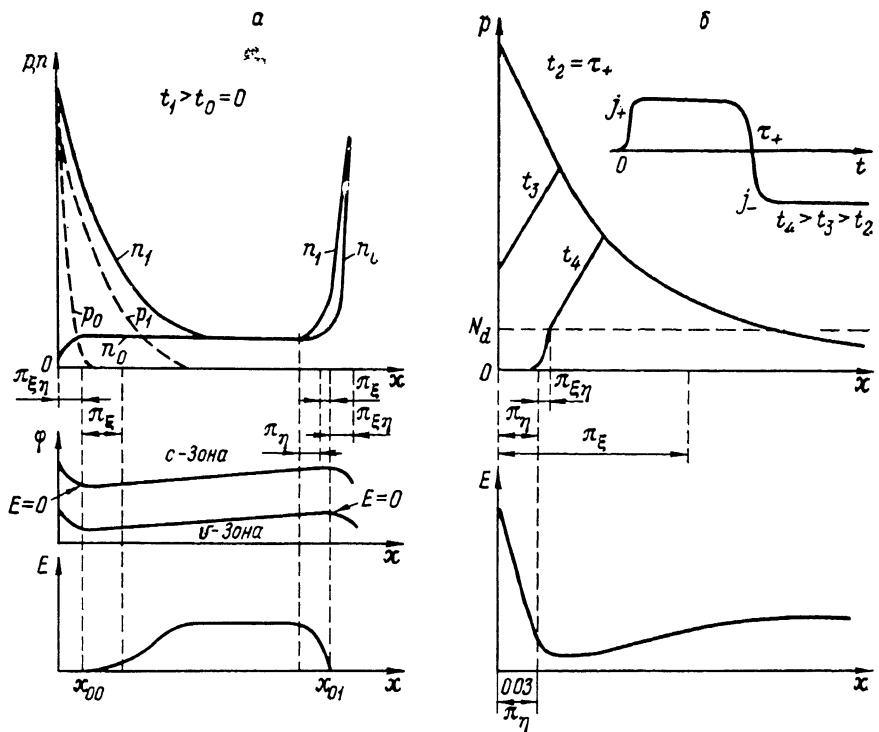


Рис. 1. Расположение пограничных слоев.

а — инъекция плазмы, б — рассасывание плазмы (граница  $x=0$  соответствует барьерному  $\pi_{\xi\eta}$ -слою у  $p^+ - n$ -перехода).

Решение (5) при соответствующих условиях «спивки» полей в точках  $\chi=0$ ,  $\chi \rightarrow \infty$  дает

$$\chi = -E - E_1 \ln \frac{E_1 - E}{E_1}, \quad (6)$$

где  $\chi$  — поле на правой границе регулярной области ( $x=w$ ,  $\chi \rightarrow \infty$ ).

Из условия квазистационарности процессов в  $\pi_\eta$ -слое и малости его толщины ( $\simeq \eta$ ) следует возможность замены этого слоя бесконечно тонкой стенкой, на которой выполняются условия на потоки (4). Более того,  $\pi_\eta$ -слой существует только до момента прихода к нему дырок ( $t < t_e$ ). После прихода дырок ( $t > t_e$ ) объемный заряд электронов в нем за максвелловское время ( $\tau_m = \eta t_e$ ) нейтрализуется и слой исчезает. После этого момента диффузионный  $\pi_\xi$ -слой у  $p^+ - n$ -перехода становится квазинейтральным и полностью подобным изначально квазинейтральному  $\pi_\xi$ -слою у  $p^+ - n$ -перехода, т. е.  $\pi_\xi$ -слой также начинает расширяться в глубь  $n$ -слоя.

Для  $\pi_\xi$ -слоя из (1)–(2) процедура поиска характерного предела дает

$$\bar{Q}_t = b\bar{E}_x + a\bar{Q}_{xx}, \quad j = \bar{Q}E, \quad (7)$$

где деформированы все переменные:  $Q = Q\xi^{-1/2}$ ,  $E = E\xi^{1/2}$ ,  $x = x\xi^{1/2}$  (чертота означает принадлежность к  $\pi_\xi$ -слою). Заметим, что из (7) автоматически исключился член  $\xi \frac{1-b}{1+b} Q_x$ , соответствующий эффилю Дембера.

Очевидно, что около точек с тождественно нулевым полем ( $x_{00}$  и  $x_{01}$ , рис. 1, а) диффузия является определяющей, и (7) может быть сведено в старых переменных (1)–(2) к широко используемому чисто диффузионному уравнению

$$Q_t = a\xi Q_{xx}. \quad (8)$$

Из сказанного следует, что (см., например, [5]) используемая непосредственная спивка чисто диффузионного уравнения (8) и чисто полевого (3) является математически некорректной. Спивка возможна только между (7) и (3). Однако структурно (7) уже включает в себя и (3), и (8) как частные случаи, поэтому решение (7) простым преобразованием масштабов может быть распространено на всю регулярную область (3) и чисто диффузионную (8).

Из вида (3), (5), (7) можно сразу оценить вклад областей в полное падение напряжения: регулярная область  $U \sim 1$ , для  $\pi_\eta$ -слоя  $U_\eta \sim \eta \ll 1$ , для  $\pi_\xi$ -слоя  $U_\xi \sim \xi^{3/2} \ll 1$ .

## 2. Рассасывание плазмы

При быстром в момент  $t=\tau_+$  (за  $\Delta t \ll t_{ed}$ ) переключении тока с прямого направления с величиной  $j=j_+$  на обратное с величиной  $j=j_-$  за время переключения  $\Delta t$  распределение инжектированных носителей в  $\pi_\xi$ -слое и регулярной области не успеет измениться. Однако точек перегиба потенциала  $x_{00}$  и  $x_{01}$  не будет, не будет и барьеров для носителей. Носители, достигшие  $p^+ - n$ - и  $n - n^+$ -переходов, будут свободно уходить в них, и на краях диффузионных областей у  $p^+ - p$ - и  $n - n^+$ -переходов возникнут, как хорошо известно [8], области с обратным градиентом концентрации носителей (рис. 2, б).

Из-за практического отсутствия неосновных носителей в  $p^+$ - и  $n^+$ -слоях граничные условия (4), соответствующие отсутствию токов электронов от  $p^+ - p$ -перехода и дырок от  $n - n^+$ -перехода, сохраняются. Поэтому граничная концентрация электронов у  $p^+ - n$ -перехода из-за их оттока от  $p$ -области будет падать. После уменьшения этой концентрации до величины, близкой к  $N_d$ , сохранение квазинейтральности становится невозможным и появляется область объемного заряда (ООЗ), расширяющаяся в квазинейтральный  $\pi_\xi$ -слой. В терминах по-транслоев ООЗ соответствует  $\pi_\eta$ -слою. Однако при поиске характерного предела для ООЗ необходимо деформировать масштаб поля, так как характерное поле в ООЗ может сильно отличаться от единицы. В этом случае система (1)–(2) сводится не к (5), а к тривиальному уравнению Пуассона с учетом объемного заряда доноров и дырок. Корректно спить решение для ООЗ и диффузионной области непосредственно нельзя, так как между ними находится крайне узкая  $\pi_\eta$ -область толщиной порядка дебаевского радиуса  $(\xi\eta)^{1/2}$ , для которой у нас нет решения. Как уже указывалось, толщина этой области  $\sim (\xi\eta)^{1/2}$ , а падение напряжения на ней порядка теплового потенциала  $\xi$ . Поэтому и при рассасывании можно заменить  $\pi_\eta$ -слой бесконечно тонкой стенкой, в которой сохраняется непрерывность тока, и ввести условие (4) на этой стенке. Концентрации электронов и дырок на стенке терпят разрыв. Однако еще из работ Шокли и Прима [1] известно, что решение уравнения Пуассона для токов в области пространственного заряда малочувствительно к граничному условию на низкопольевой границе. Легко показать, что при выполнении условия  $U_{Ooz} > \varepsilon E_s^2 / 2qN_d$  или  $a > \varepsilon E_s / qN_d$  (где  $U_{Ooz}$  — падение на ООЗ,  $a$  — ее толщина) поле в ООЗ превышает значение  $E_s$ , при котором происходит насыщение дрейфовой скорости. В этом случае для  $U_{Ooz}$  легко получить

$$U_{Ooz} = \left( \frac{qN_d + j/v_s}{2\varepsilon} \right) a^2. \quad (9)$$

Условие справедливости (9) наступает для  $N_d \approx 10^{14}$  см<sup>-3</sup> при  $U_{Ooz} \gg 5$  В и  $a \gg 5 \cdot 10^{-3}$  см.

Для  $\pi_\eta$ -слоя похожая картина наблюдается и у  $n - n^+$ -перехода, однако здесь не возникают расширяющаяся область объемного заряда и  $\pi_\xi$ -слой, так как

при уменьшении концентрации дырок до нуля объемный заряд доноров компенсируется равновесными электронами. Восстанавливается только узкий  $\pi_\eta$ -слой (б), существовавший на ранней стадии инжекции.

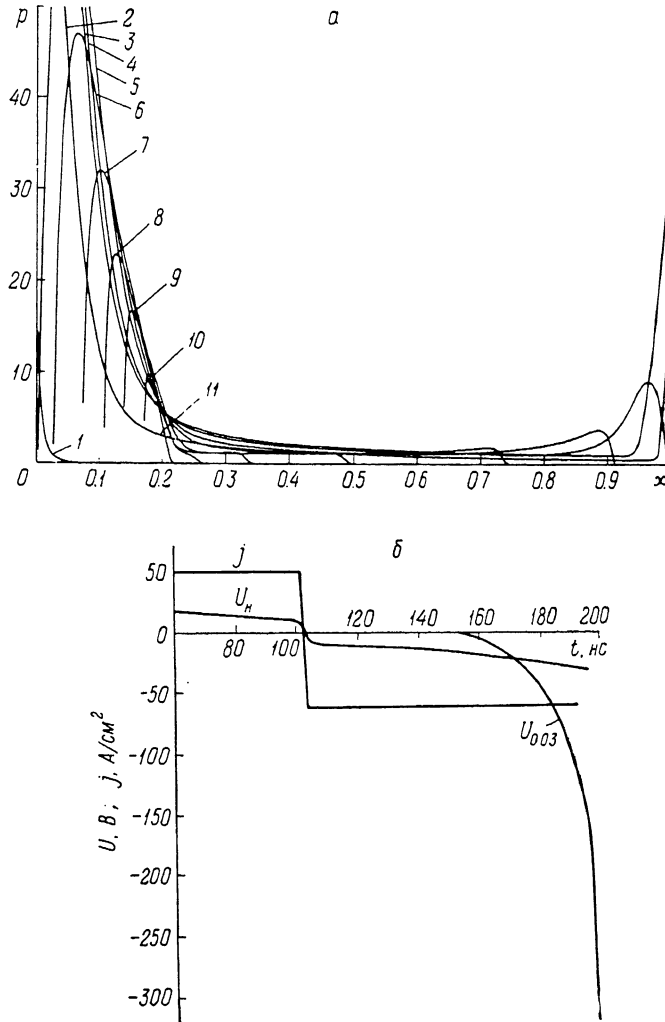


Рис. 2. Распределение концентрации (а), изменение тока и напряжения (б).

а)  $t$ , нс: 1 — 2, 2 — 69, 3 — 104, 4 — 119, 5 — 139, 6 — 159, 7 — 179, 8 — 190, 9 — 195, 10 — 199, 11 — 200; б) напряжение:  $U_B$  — на квазинейтральной области,  $U_{003}$  — на области объемного заряда;  $w=250$  мкм,  $N_d=1.25 \cdot 10^4$  см<sup>-3</sup>,  $\tau_+=\tau_-=100$  нс,  $j_+=j_-=50$  А/см<sup>2</sup>.

### 3. Численное моделирование

Как следует из сказанного выше, для получения полной картины процессов с точностью  $\sim \xi$  достаточно получить решения для квазинейтральных областей, т. е. диффузионных  $\pi_\xi$ -слоев и регулярной области;  $\pi_{\xi\eta}^-$ ,  $\pi_\eta$ -слои могут быть заменены соответствующими разрывами с нулевой толщиной.

Укороченная система уравнений для всего промежутка  $0 < x < w$ , за вычетом  $\pi_\eta$ - и  $\pi_{\xi\eta}$ -погранслоев, т. е. областей объемного заряда, получается из (1) — (2) устремлением к нулю параметров  $\eta$  и  $\xi\eta$ . При этом в (1) остается дембировский член  $\sim Q_\xi$ . Как мы показали выше, этот член не играет роли ни в регулярной области (3), ни в диффузионной  $\pi_\xi$  (7), очевидно, его можно исключить и в укороченной системе ( $\eta \rightarrow 0$ ,  $\xi\eta \rightarrow 0$ ), объединяющей обе эти области. В результате мы получим уравнение, аналогичное по структуре (7), но записанное не в деформированном масштабе. Переходя в укороченной системе к новой пе-

ременной — концентрации дырок  $p$ , получим в результате известную [5] систему

$$\frac{\partial p}{\partial t} = -\frac{\partial j_p}{\partial t}, \quad j_p = Ap - B \frac{\partial p}{\partial x}, \quad (10)$$

где

$$A = \frac{j}{p(1+b)+b}, \quad B = \xi \left[ \frac{p(b-1)}{p(b+1)+b} + 1 \right].$$

Границочное условие (4) на  $\gamma_p$  задавалось на бегущей границе между ООЗ и  $\pi_\xi$  ( $x=a$ ). Положение этой границы определялось условием достижения в  $\pi_\xi$  концентрации дырок  $p_r = N_d/2$ .

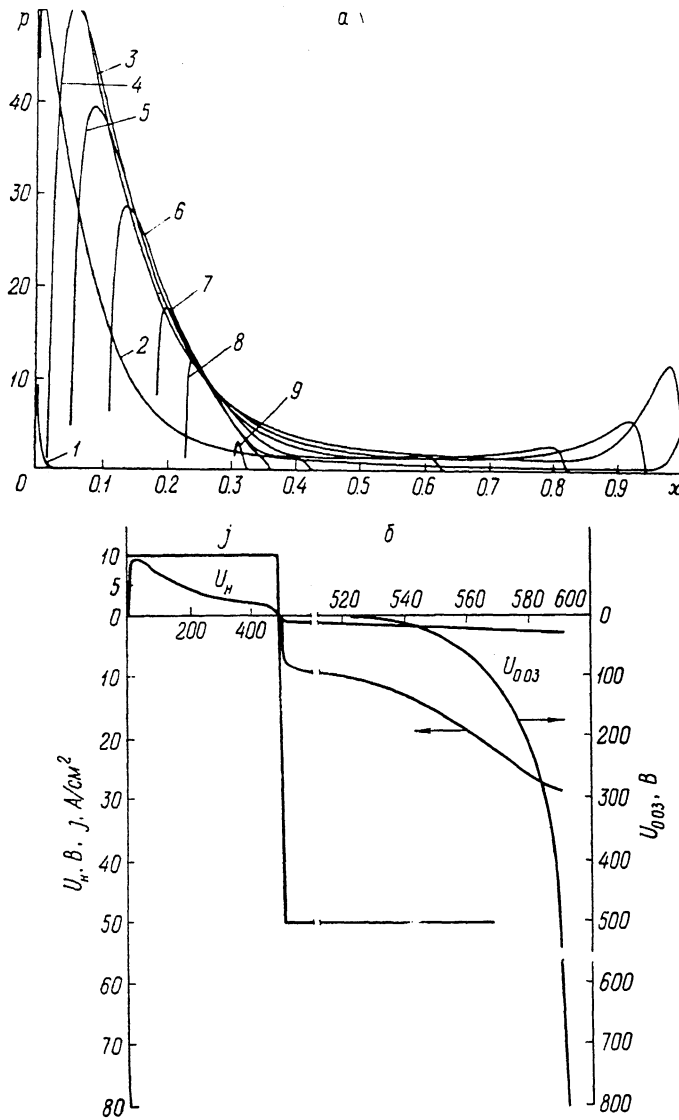


Рис. 3. Распределение концентрации (а), изменение тока и напряжения (б).

а)  $t$ , нс: 1 — 2, 2 — 220, 3 — 508, 4 — 528, 5 — 548, 6 — 568, 7 — 584, 8 — 589, 9 — 593; б) напряжение:  $U_H$  — на квазинейтральной области,  $U_{OOZ}$  — на области объемного заряда;  $w_n = 250$  мкм,  $N_d = 1.25 \times 10^{14}$  см $^{-3}$ ,  $t_4 = 500$  нс,  $j_+ = 10$  А/см $^2$ ,  $j_- = 50$  А/см $^2$ .

Система (10) приводилась к системе разностных уравнений и решалась методом прогонки с использованием итераций. Задача сводилась к одномерной путем перехода от одного временного слоя к другому. Использовалась неравномерная сетка по  $x$  со сгущением точек в областях больших градиентов, т. е.

к краям интервала  $(0-w)$ . Внешняя цепь моделировалась генератором напряжения  $U_g$  с внутренним сопротивлением  $R=1$  кОм, обеспечивающим режим, близкий к генератору тока. Переходный процесс включения тока от нуля до  $j_+$  и от  $j_+$  до  $j_-$  аппроксимировался по закону  $j \sim \sin(\omega t - \pi/4) + 1$  с временем установления тока  $\tau_y = 2$  нс, где  $\tau_y = \pi/2\omega$ . Напряжение на ОЗ рассчитывалось по (9), куда в качестве толщины ОЗ ( $x=a$ ) подставлялось значение для бегущей границы между  $n$ -слоем и ОЗ, полученное при численном расчете. Результаты расчета концентрации дырок в  $n$ -слое в кремниевой  $p^+ - n - n^+$ -структуре с  $w=2.5 \cdot 10^{-2}$  см,  $N_d=1.25 \cdot 10^{14}$  см $^{-3}$  представлены на рис. 2, а для  $\tau_+=100$  нс,  $j_+=j_-=50$  А/см $^2$  и на рис. 3, а для  $\tau_+=500$  нс,  $j_+=10$ ,  $j_-=50$  А/см $^2$ .

Как видно из рис. 2, а, распределение концентрации качественно полностью соответствует картине, описанной в [7]. При включении импульса тока пропускного направления сначала у  $p^+ - n$ -перехода образуется диффузионная область, от которой распространяется дрейфовая волна инжекции. После того как волна дойдет до  $n^+$ -слоя, около  $n^+ - n$ -перехода образуется вторая диффузионная область. В области больших концентраций у  $p - n$ -перехода в промежутке  $0 < x < L_d$ , где  $L_d = 2 \sqrt{\frac{D_p b}{1+b} t}$ , полученное распределение хорошо описывается решением диффузионного уравнения (8). То же самое можно сказать и о диффузионной области у  $n - n^+$ -перехода, нужно только в выражение для  $L_d$  подставить величину времени, отсчитанную с момента прихода дырок к  $n - n^+$ -переходу. Между диффузионными слоями располагается область относительно малой концентрации — область биполярного дрейфа, большая часть которой хорошо описывается решением (3), полученным в аналитическом виде [7]. Переходная область сплавки между «диффузионным» и «дрейфовым» решениями лежит при  $L_d \leq x \leq 2L_d$ , т. е.  $27 < x < 40$  мкм для  $\tau_+=100$  нс. Таким образом, даже при малых временах чисто дрейфовое решение [7] «не работает» в области у  $p^+ - n$ -перехода, составляющей 16 % от всей толщины  $n$ -слоя.

При переключении тока на обратное направление в диффузионных слоях появляются у  $p^+ - n$ - и  $n^+ - n$ -переходов области обратного градиента концентрации. Спустя некоторое время ( $t_0$ ) концентрация дырок на границе уменьшается до  $p < N_d$  и у  $p^+ - n$ -перехода появляется расширяющаяся область объемного заряда (волна ОЗ). Границы применения машинного счета сужаются.

При обращении концентрации дырок в нуль у  $n^+ - n$ -перехода образуется равновесная область, истощенная от неравновесных носителей, которая начинает с течением времени расширяться, т. е. от  $n - n^+$ -перехода начинает распространяться волна истощения, качественно описанная ранее в [7], за ее фронтом  $n$ -область полностью освобождается от дырок, а концентрация электронов  $n=N_d$ . Крутизна фронта этой волны определяется диффузией и составляет  $dp/dx=j/qD_p$ . Отсюда для ширины фронта  $\delta$  получается

$$\delta \doteq p_m q D_p / j, \quad (11)$$

где  $p_m$  — максимальное значение концентрации дырок на фронте. Ширина фронта (рис. 2, а и 3, а) хорошо совпадает с оценкой по формуле (11).

Как видно из рис. 2, а и 3, а, обе области — ОЗ у  $p^+ - n$ -переходов и область истощения (ОИ) у  $n^+ - n$ -переходов с резко выраженнымами границами — движутся навстречу друг другу. Скорость движения границы (фронта) волны ОЗ: много меньше скорости фронта волны истощения. В момент встречи фронтов ОЗ и волны истощения (схлопывания волн) происходит полное истощение всего  $n$ -слоя от неравновесных носителей. Схлопывание волн происходит в области сплавки диффузионного и дрейфового решений, чему можно дать простое объяснение. При инжекции доля дырок, накопившихся в диффузионной области у  $p^+ - n$ -перехода, составляет  $b/(1+b)$  от полного числа дырок в  $n$ -слое. Доля дырок, перенесенных через границу между диффузионной областью и областью дрейфа, составляет  $1/(1+b)$ . В процессе рассасывания доли дырок, вынесенных из диффузионной области в  $p^+$ -слой и прошедших через границу между диффузионной и дрейфовой областями в диффузионную область, находятся в том же соотношении. Поэтому момент истощения дрейфовой области от дырок обязан совпадать с моментом исчезновения остатка диффузионной области. Для дли-

тельности момента схлопывания волн на основании (11) можно дать следующую оценку:  $\tau_s = \delta v$ , где  $v$  — скорость фронта,

$$\tau_s \approx \left( \frac{q p_m}{j} \right)^2 D_p \simeq \tau_+ \frac{j_+ q N_d D_p}{j_-^2 w}. \quad (12)$$

В (12) для  $p_m$  подставлено соответствующее выражение из [7]. Из (12) следует  $\tau_s = 2 \cdot 10^{-11}$  с, т. е. величина, меньшая шага вывода массива  $p$ , использовавшегося для построения рис. 2, а и 3, а.

Из рис. 2, а следует неожиданный, на первый взгляд, факт — отсутствие диффузионного размывания спада концентрации в обогащенной области, т. е. «замораживание» распределения дырок на этапе рассасывания. Объяснение этого факта состоит в следующем. На этапе инжекции скорость движения дырок  $v_p = j_p/p$  в диффузионной области у  $p^+ - n$ -перехода определяется как диффузией ( $j_d$ ), так и дрейфом ( $j_E$ ), причем эти составляющие направлены в одну сторону и в случае высокого уровня инжекции равны ( $j_d = j_E$ ), т. е.  $j_p = j_d + j_E = 2j_d$ . При быстрой смене направления тока и сохранении его абсолютной величины градиент концентрации и диффузионная составляющая  $j_d$  сохраняют старое значение  $j_d = j_p/2$ . Полевая же составляющая изменяет направление на противоположное, так что полный ток дырок  $j_p = j_d - j_E$  и  $v_p$  уменьшаются, т. е. распределение дырок замораживается.

Хотя рост напряжения в квазинейтральной области в основном определяется расширением области истощения, падение напряжения в области объемного заряда дает заметный вклад в полное падение напряжения на диоде, начиная с середины процесса рассасывания, и является определяющим в последние 20 нс перед полным истощением всего объема от неравновесных носителей. Иными словами, перед этапом сверхбыстрого восстановления (выноса равновесных носителей) [4], занимающего 1—2 нс, существует этап значительного роста напряжения 20 нс, сглаживающего резкость перехода к сверхбыстрому участку и ухудшающего коммутационные характеристики диода.

При  $\tau_+ = 100$  к 199.5 нс  $U_{00Z} = 343$  В, а с учетом падения на ОИ ( $U_{0i} = 34$  В) «пьедестал» (напряжение на приборе перед участком сверхбыстрого восстановления) достигает 377 В (рис. 2, б).

Еще больший рост  $U_{00Z}$  наблюдается при увеличении длительности импульса накачки. При  $\tau^+ = 500$  нс, как видно из рис. 3, б, к 593 нс  $U_{00Z} = 870$  В, а с учетом падения на ОИ ( $U_{0i} = 30$  В) пьедестал достигает 900 В — половины рабочего напряжения диода. Такой резкий пьедестал при увеличении длительности накачки импульса хорошо виден на экспериментальных кривых нарастания напряжения, приведенных на рис. 4.1 из работы [7].

Представляет интерес сравнение основных параметров процессов, взятых из численного расчета и полученных из упрощенного анализа. Например, из простейшего линейного приближения решения (8)

$$p = \frac{j_+ L_d}{2qD} \left( 1 - \frac{x}{L_d} \right), \quad D = \frac{2D_p b}{1+b} \quad (13)$$

легко найти момент образования ООЗ, т. е. обращения  $p$  ( $x=0$ ) в нуль ( $t_0$ ),

$$t_0 = \frac{\tau_+ b j_+^2}{j_- (j_+ + j_-) (1+b)}. \quad (14)$$

Положение точки ( $x_m$ ) с максимальным значением концентрации ( $p_m$ ), разделяющей области прямого и обратного градиентов,

$$x_m = 2 \sqrt{\frac{D_p t_0 j_-}{(j_+ + j_-)}}. \quad (15)$$

Положение границы ООЗ (а)

$$a = L_d \left( 1 - \sqrt{1 - \frac{2(t - t_0)}{\tau_+} \left( 1 + \frac{j_-}{j_+} \right)} \right). \quad (16)$$

Значение минимальной концентрации ( $p_{\min}$ ) было рассчитано в [7]:

$$p_{\min} = \frac{N_d}{1+b} \sqrt{\frac{j_+ b t}{q w N_d}} + 1. \quad (17)$$

Падение напряжения на ООЗ ( $U_{003}$ )

$$U_{003} \simeq \frac{q N_d}{2 \epsilon} a^2. \quad (18)$$

Сравнение результатов, полученных из выражений (13)–(18) и на ЭВМ (рис. 2 и 3), показывает их хорошее совпадение (с точностью  $< 20\%$ ) во всех случаях, когда положение соответствующей координаты не попадает в промежуток между диффузионной и дрейфовой областями, в область швыки решений (8) и (3). Как указывалось, эта область швыки, где (13)–(18) несправедливы, лежит в пределах границ  $L_d \leq x \leq 2L_d$ . После истощения объема от неравновесных носителей протекание тока сопровождается выносом основных носителей (электронов) из нейтральной области и резким (на несколько порядков) увеличением скорости роста напряжения на ней [4]. Однако рассмотрение этого этапа выходит за рамки данной работы.

#### Список литературы

- [1] Васильева А. Б., Кардо-Сысоев А. Ф., Стельмах В. Г. // ФТП. 1976. Т. 10. В. 7. С. 1321–1324.
- [2] Найфе А. Введение в методы возмущений. М., 1984. 535 с.
- [3] Ламперт М., Марк П. Инжекционные токи в твердых телах. М., 1973. 416 с.
- [4] Benda H., Spenke E. // Proc. IEEE. 1967. V. 55. N 8. P. 1331–1354.
- [5] Носов Ю. Р. Физические основы работы полупроводникового диода в импульсном режиме. М., 1968. 256 с.
- [6] Ефанов В. М., Смирнова И. А., Кардо-Сысоев А. Ф. // ФТП. 1987. Т. 21. В. 4. С. 620–625.
- [7] Грехов И. В., Ефанов В. М., Кардо-Сысоев А. Ф., Шендерей С. В. // Письма ЖТФ. 1983. Т. 9. В. 7. С. 435–439.
- [8] Shockley W., Prim R. // Phys. Rev. 1953. V. 90. P. 753–757.

Физико-технический институт  
им. А. Ф. Иоффе АН СССР  
Ленинград

Получена 21.12.1989  
Принята к печати 6.07.1990